

斜面侵食による濁度物質の生産・流出機構に関する研究

On The Yield Of Wash Load By Slope Erosion

京都大学防災研究所 正 芦田和男

京都大学防災研究所 正 ○江頭進治

建設省計画局 正 金屋敷忠儀

1. 緒言

貯水池の堆砂や濁水現象において重要な微細土砂は、裸地斜面や流域河道に存在し、雨水流や河道流の侵食現象を通して生産・流送されるものと思われるが、その機構については未解明の所が少なくなく、定量的な予測法を確立するためには、その機構の究明が必要である。

裸地斜面の侵食現象に関しては、一般に斜面材料の粘着性が問題になる。こういった粘着性流路床の侵食機構を扱った代表的なものに Partheniades¹⁾ および芦田・田中²⁾らの研究があるが、裸地斜面の侵食による wash load の流出機構を議論する場合、芦田らが提案した侵食速度の概念を用いると、問題をかなり単純化することが可能である。

本研究においては、雨水流による斜面侵食の形態のうち、土砂の生産・流出に対してとくに支配的と思われるガリ侵食を取り上げて、上の考え方に基づき wash load の流出機構を考察するとともに、崩壊裸地斜面における抵抗則、侵食速度やガリ下流端の流出濁度に関する現地実験結果について述べる。

2. ガリ侵食に伴う濁度物質の生産・流出機構

(1) 粗い粒子の移動限界に関する考察

簡単のため、單一粒径の粗粒子と粘着力をもつ微細粒子の混合物によって斜面が構成されているものとし、さらに、粗粒子のかみ合いは一般的の非粘着性材料の砂礫床と同様であって、微細成分は、単に空隙を埋めている状態を想定する。こういった状況において、二次元流れにおける砂礫に働く力を模式的に示すと図-1のようである。同図で、 θ : 斜面こう配、 d : 粒子径、 F_w : 重力、 F_b : 浮力、 F_d : 抗力、 F_l : 揚力、 F_c : 粘着力である。ここで、斜面のせん断破壊は起らないものとし、粘着力 F_c は、微細成分の占める割合 p_c および h_a/d の関数である面積係数 $k'_c(p_c, h_a/d)$ および単位面積当りの粘着力 f_c を用いて、

$$F_c = k'_c (p_c, h_a/d) d^2 f_c \quad \dots \dots \dots (1)$$

のように表示されるものとすれば、粒子の移動限界に関する無次元限界掃流力 τ_{*cc} は、非粘着性材料の移動限界に関する芦田・大同・高橋・水山³⁾の研究を参考にして次式のように求められる。

$$\begin{aligned} \tau_{*cc} = & \frac{u_*^2 c_c}{(S-1)gd} = \frac{2 k_3}{C_D (k_2 + k_1 C_L / C_D \cdot \tan \phi)} \frac{1}{\alpha^2} (\cos \theta \tan \phi - \frac{S}{S-1} \sin \theta) \\ & + \frac{2 k'_1}{C_D (k_2 + k_1 C_L / C_D \cdot \tan \phi)} \frac{1}{\alpha^2} \frac{f_c}{(\rho_s - \rho) g d} \end{aligned} \quad \dots \dots \dots (2)$$

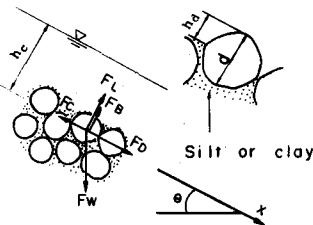


図-1 粗い粒子に働く力

ここに、 C_D , C_L : それぞれ抗力および揚力係数； k_1 , k_2 : 面積係数； k_3 : 体積係数であって、粒子が球の場合、 $k_1 = k_2 = \pi/4$, $k_3 = \pi/6$ である。 ρ_s , ρ : それぞれ粒子および流体密度； $S = \rho_s/\rho$, ϕ : 水中安息角； $\alpha = u_a/u_*$ (u_a : 粒子に作用する流速) である。いま、Shields の無次元限界掃流力を τ_{*c} とすると、(1)式は次のように変形される。

し、 E_1 および E_2 は混合物の侵食速度である。弱い層の侵食が終了する時間を t_1 とすると、この層の侵食によって生産・流出 U する微細成分および粗粒成分は、単位時間・面積当たり、それぞれつぎのように示される。

$$m_z = \rho_s E_1 (1 - \lambda_0) p_f, (t \leq t_1) \dots \dots \dots (4)$$

$$m_o = \rho_s E_1 (1 - \lambda_0) p_c, (t \leq t_1) \dots \dots \dots (5)$$

一方、 $t > t_1$ においては、つぎのようである。粗粒子、微細粒子および空隙の占める体積比率をそれぞれ p'_c , p'_f および p'_v ($p'_c + p'_f + p'_v = 1$) とし、 $\alpha_2 d$ の層に残留している微細成分と、すでに流出した量をそれぞれ M_b および M_{out} とすると、次式が成り立つ。

$$M_{out} + M_b = \rho_s \alpha_2 d p'_{f1} \dots \dots \dots (6)$$

ここに、 $p'_{f1} : t = t_1$ における微細成分の体積比である。ここで、単位時間当りの流出量 m_{out} が M_b に比例するものとし、比例係数を κ とおくと、次式が成り立つ。

$$m_{out} = d M_{out} / dt = -d M_b / dt = \kappa M_b \dots \dots \dots (7)$$

いま、 κ および E_2 が時間的に変化しないと仮定すれば、 $\kappa = E_2 / \alpha_2 d$ と置けるので、この条件のもとに、これらの式を解くと、 p'_{f1} および m_{out} がそれぞれつぎのよう求められる。

$$p'_{f1} = p'_{f1} \exp \left[-E_2 / \alpha_2 d \cdot (t - t_1) \right] \dots \dots \dots (8)$$

$$m_{out} = \rho_s p'_{f1} E_2 \exp \left[-E_2 / \alpha_2 d \cdot (t - t_1) \right] \dots \dots \dots (9)$$

ここに、 $t = t_1$ における空隙率を λ_1 、微細成分の比率を p'_{f1} とすると、 $p'_{f1} = (1 - \lambda_1) p_{f1}$ なる関係がある。

以上のように、単位面積、単位時間当りの微細粒子の流出量が定式化されたので、つぎに、図-6に示すようなガリ侵食による流出について述べよう。図-6には、ガリこう配 θ 、長さ L 、水面幅 B および流水断面積 A をもつガリの侵食状況が模式的に示されている。いま、ガリ侵食による微細土砂の流出を濃度（重量）表示すると、流水濃度は次のように示される。

$$\frac{\partial C}{\partial t} + \frac{Q}{A} \frac{\partial C}{\partial x} = \frac{1}{A} q_{sf} \dots \dots \dots (10)$$

ここに、 q_{sf} ：単位長さ当りの微細粒子の流入量で、(4)式および(9)式の E_1 および E_2 を溝辺長 S_p 上の平均値であると見なすと、 q_{sf} はつぎのように示される。

$$q_{sf} = \left\{ \begin{array}{l} \frac{\rho_s}{\rho} E_1 (1 - \lambda_0) p_f S_p, (t \leq t_1) \\ \frac{\rho_s}{\rho} E_2 (1 - \lambda_1) p_{f1} S_p \cdot \exp \left[-E_2 / \alpha_2 d \cdot (t - t_1) \right], (t > t_1) \end{array} \right. \dots \dots \dots (11)$$

$$q_{sf} = \left\{ \begin{array}{l} \frac{\rho_s}{\rho} E_1 (1 - \lambda_0) p_f S_p, (t \leq t_1) \\ \frac{\rho_s}{\rho} E_2 (1 - \lambda_1) p_{f1} S_p \cdot \exp \left[-E_2 / \alpha_2 d \cdot (t - t_1) \right], (t > t_1) \end{array} \right. \dots \dots \dots (12)$$

これらを(10)式に代入して、ガリ下流端の濃度を解くと、ガリ下流端における流水濃度が、それぞれ次式のように求められる。

$$C(t) = \rho_s / \rho \cdot (1 - \lambda_0) p_f S_p L E_1 / Q, (t \leq t_1 (= \alpha_2 d / E_1)) \dots \dots \dots (13)$$

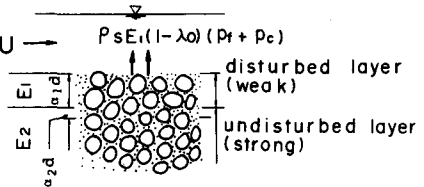


図-5 混合物の侵食による土砂の生産・流出

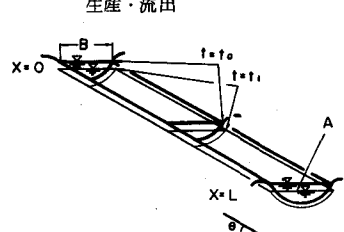


図-6 記号およびガリ侵食の模式図

流量、 T : 水温、 B_0 : 初期ガリ幅、 L : ガリ長、 θ : ガリこう配、

p_f : 粒径 105μ 以下の成分の含有率、 t_i : 通水時間、 Σt_i

: 実験終了までの全通水時間で、他は慣用記号である。

(2) 実験結果および考察

a) 流量変化: 表-1に示すよう

に、いずれの実験においても浸透による流下方への流量変化が無視できないので、以下の水理量の計算においては、つぎのような方法で、任意断面の流量を推定している。透水係数を一定として、松尾⁶⁾らの方法によって浸透流量を求め、流量の縦断変化を算定したところ、どの斜面においてもほぼ直線変化をしたので、流量は直線変化するものとみなしている。

b) 縦横断形状と粗粒化現象: 図-7には、

Run 1-4におけるガリ最深部の縦断形の時間変化が示されている。 $t = 0 \sim 10.6$ 分において、平均粒径の $1 \sim 2$ 倍程度の侵食が起こるとともに、この時点では凹凸がかなり発達している。

10.6 分以後、顕著な侵食ではなく、凹凸の性状が若干変化する程度である。同様のことが、図-8に示す横断面の侵食および形状特性についても言える。写真-3は、 $x = 0.6$ m 近傍において、通水後 10.6 分に撮影されたものである。ガリの初期状態に対応するガリ外部の状況と比較して、ガリ内の粗粒化が顕著である。実験終了時のものは示していないが、目視では写真-3との区別はできない。図-9には、初期および実験終了時(20.8 分)のガリ表面、生産・流出土砂および流水中に含まれる微細粒子の粒度分布が示されている。流出土砂の粒径は、初期のものより若干小さく、微細粒子とともに大きい砂礫の空隙を埋めていた比較的小さい砂粒が、粗粒化過程において

流出していることがわかる。流水中の微細粒子の粒度分布は時間的にも変動しながら若干小さくなるが、微細成分の 50%以上が 10μ 以下の粒子からなっていることは、特記すべきことであろう。以上縦横断形と粗粒化現象について述べたが、図-4で示したように侵食特性が時間的に変化するのは、ガリ表面が人為的な擾乱を受けているためであって、凹凸が形成されているのは、抵抗力すなわち(2)式または(3)式右辺第2項が場所的に変化することに主因があるようと思われる。

c) 水面幅: 芦田⁷⁾らは、流量が $10^{-6} \sim 10^4 \text{ m}^3/\text{s}$ の広範な実験および観測結果を整理して、粘着性・非粘着性河床材料に關係なく(15)式のようなレジーム則が成り立つことを報告している。本実験で得られた結果も

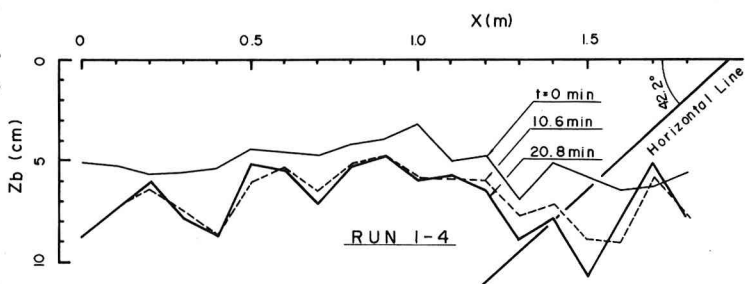


図-7 縦断形状 (Run 1-4)

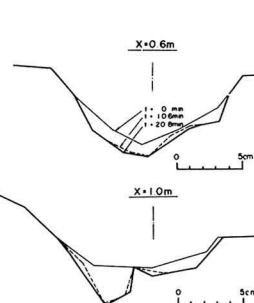


図-8 横断形状 (Run 1-4)



写真-3 Run 1-4 (10.6分後)

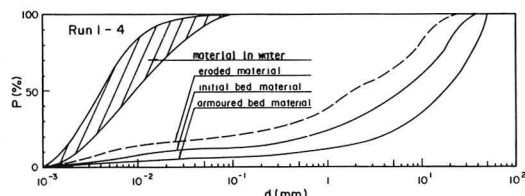


図-9 ガリおよび侵食土砂の粒度分布

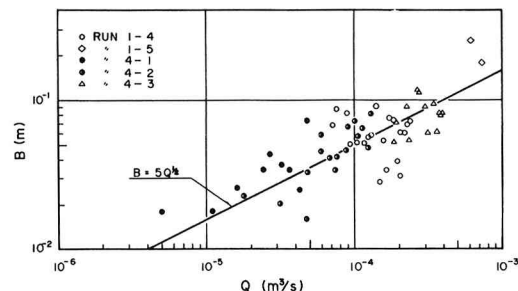


図-10 水面幅

$\lambda_1 = \lambda_0$ として(14)式から求められたものである。

5. 結語

本研究においては、まず、こう配の大きい裸地斜面における土砂の生産・流出に関して、斜面材料が微細粒子を含有するために付加される粘着力による抵抗増加の重要性について述べ、こういった斜面における粗粒子の移動限界について定性的な考察を行なった。ついで、斜面からの土砂流出に対して支配的であると思われるガリ侵食を対象として、ガリ侵食による微細粒子の流出機構には二つの形態、すなわち、掃流力が粗粒子の移動限界より大きい場合 ($\tau_* > \tau_{*r}$) と移動限界より小さい場合 ($\tau_* < \tau_{*r}$) の生産・流出形態があることを推察するとともに、それぞれの形態における微細粒子の流出モデルを提案した。

さらに、生産・流出モデルに含まれる未知変数を定めるため、また、山地流域における wash load の問題に対して本モデルを適用していく観点から現地実験を行なったが、二三の興味深い結果を得た。まず、理論的に推察したように、微細粒子の生産・流出には、 $\tau_* > \tau_{*r}$ および $\tau_* < \tau_{*r}$ の場合の二つの形態があることが明らかにされた。ついで、摩擦速度など種々の水理量を算定する際、基本的な条件となる水面幅について、レジーム則が適用できることを確かめた。本実験は、 R/d が非常に小さく、しかも完全粗面乱流とみなせる領域のものであって、実験精度上の問題からデータはかなり散乱しているが、流水抵抗は、粗度要素型の抵抗を示すことを推察した。また、微細粒子の生産・流出に対して最も重要な侵食速度については、粗粒成分と微細成分の混合物の侵食速度を摩擦速度で無次元化し、芦田・田中²⁾ が提案した $E/u_* = \text{const}$ なる関係を確かめた。

微細粒子の生産・流出モデルは、このような実験によって、その妥当性が示された。さて、本モデルの山地流域における wash load の問題への適用は、流域の裸地分布の調査を行ない、裸地の形状および大きさ、代表的な裸地におけるガリの本数や長さなどについてモデル化を行ない、若干の侵食試験を実施することによって、比較的容易に行なえる。しかし、今後解明すべき問題点も多く、とくに、粗粒子の移動限界 (τ_{*cc}) の問題、擾乱の程度と α_1 の関係、 E_1 および α_2 などについて、さらに考察を進める必要がある。

現地実験に際して、建設省近畿地方建設局ならびに紀南工事事務所の諸氏に協力していただいた。また、資料解析においては、新日本技術コンサルタントの古川整治氏に協力していただいた。ここに記して感謝の意を表します。

参考文献

- 1) Partheniades, E. : Erosion and Deposition of Cohesive Materials, River Mechanics, Vol. II, edited by H.W. Shen, 1971.
- 2) 芦田和男・田中健二：粘土分を含有する砂れき床の侵食と流砂機構に関する研究、京大防災研究所年報、17号B, 1974。
- 3) 芦田和男・大同淳之・高橋保・水山高久：急勾配流れの抵抗と限界掃流力に関する研究、京大防災研究所年報、16号B, 1973。
- 4) 澤井健二・芦田和男：内筒回転式土壤侵食試験法について、京大防災研究所年報、22号B-2, 1979。
- 5) 金屋敷忠儀・芦田和男・江頭進治：山地流域における濁度物質の生産・流出モデルに関する研究、24回水理講演会論文集、1980。
- 6) 松尾新一郎・赤井浩一・池田一郎：現地における地盤透水係数の一測定法：土木学会誌37-2, 1952。
- 7) 芦田和男・高橋保・水山高久：流路工計画における水理学的研究、新砂防、Vol. 28, No. 2, 1975。
- 8) Hey, R.D. : Flow Resistance in Gravel-Bed Rivers, Proc. ASCE, Vol. 105, HY4, 1979.